



Laboratorium EMVO Sp. J. Urbański, Pawelak
ul. Jasna 1
00-013 Warszawa

tel. +48 22 780 29 64

e-mail: laboratorium@emvo.pl



AB 1630

Sprawozdanie z pomiarów pól elektromagnetycznych - środowisko ogólne nr 54/05/OŚ/2021- P4-W



Nr i nazwa stacji	MLA3308	
Adres	Mława, Maksymiliana Marii Kolbe dz. nr 920/11, pow. mławski, woj. mazowieckie	
Opracowanie	Martyna Karczmarczyk	Specjalista ds. pomiarów
Autoryzacja	Andrzej Urbański	Kierownik Laboratorium
Podpis		
Data	2021-05-21	

Spis treści

1. Informacje ogólne.....	3
2. Podstawa prawna.	3
3. Opis pomiarów.....	3
4. Zróżnicowanie dopuszczalne poziomy pól elektromagnetycznych.....	5
5. Charakterystyka źródeł PEM.....	5
6. Wyniki pomiarów.....	5
7. Stwierdzenie zgodności	7
8. Oświadczenie.....	8
9. Spis załączników.	8

1. Informacje ogólne.

Zleceniodawca	P4 sp. z o.o., ul. Wynałazek 1, 02-677 Warszawa osoba udzielająca informacji- Monika Jankowska
Istotne informacje dostarczone przez klienta	komplet informacji niezbędnych do wykonania pomiarów i opracowania sprawozdania
Dane otrzymane od klienta mogące mieć wpływ na ważność wyników	Dane anten sektorowych, dane anten radioliniowych, parametry pracy instalacji, poprawka pomiarowa, ustawienie pochylenia anten
Prowadzący instalację	P4 sp. z o.o., ul. Wynałazek 1, 02-677 Warszawa
Lokalizacja obiektu	Mława, Maksymiliana Marii Kolbe dz. nr 920/11, pow. mławski, woj. mazowieckie
Miejsce instalacji anten	Wieża kratowa
Miejsce instalacji urządzeń	Outdoor
Osoby wykonujące pomiar	Łukasz Biczuk
Data wykonania pomiaru	21.05.2021
Temperatura na początku pomiaru [°C]	20,0
Temperatura na koniec pomiaru [°C]	21,5
Warunki atmosferyczne	Brak opadów
Wilgotność na początku pomiaru [%]	52,0
Wilgotność na koniec pomiaru [%]	51,5
Inne źródła pól elektromagnetycznych oznaczone na załączniku graficznym	Występują
Parametry pracy instalacji	Rzeczywisty

2. Podstawa prawna.

2.1 Normy i rozporządzenia:

- Rozporządzeniem Ministra Klimatu z dnia 17 lutego 2020 r. w sprawie sposobów sprawdzania dotrzymania dopuszczalnych poziomów pól elektromagnetycznych w środowisku (Dz.U. 2020 poz. 258)
- Rozporządzenie Ministra Zdrowia z dnia 17 grudnia 2019 r. w sprawie dopuszczalnych poziomów pól elektromagnetycznych w środowisku (Dz.U. 2019 poz. 2448)
- Obwieszczenie Marszałka Sejmu Rzeczypospolitej Polskiej z dnia 19 lipca 2019 r. w sprawie ogłoszenia jednolitego tekstu ustawy - Prawo ochrony środowiska (Dz.U. 2019 poz. 1396).

3. Opis pomiarów

Metodologia pomiarowa	Pomiary w oparciu o Rozporządzeniem Ministra Klimatu z dnia 17 lutego 2020 r. w sprawie sposobów sprawdzania dotrzymania dopuszczalnych poziomów pól elektromagnetycznych w środowisku (Dz.U. 2020 poz. 258).
Cel badań	Określenie wartości natężenia pola elektrycznego w miejscach dostępnych dla ludności.
Opis zestawu pomiarowego	Miernik Narda NBM 520, Sonda EF 9091, o zakresie pomiarowym 0,8 V/m 300V/m pracująca w paśmie 80 MHz – 90 GHz, świadectwo wydane przez Laboratorium Wzorców i Metrologii Pola Elektromagnetycznego, Instytut Telekomunikacji, Teleinformatyki i Akustyki Politechniki Wrocławskiej, numer świadectwa: LWIMP/W/052/21, świadectwo ważne do 12.03.2023r. Miernik Narda NBM 520, Sonda EF 9091 pracująca w zakresie temperatury -10°C - +50°C oraz wilgotności 5% - 95%. Niepewność rozszerzona 59,8% przy poziomie ufności 95% z uwzględnieniem współczynnika rozszerzenia k=2.
Wypożyczenie pomocnicze	Termohigrometr Bestone, typ: GM1362-EN-00, nr identyfikacyjny 1222436, świadectwo wzorcowania z dn. 03.04.2017r. wydane przez Laboratorium Pomiarowe "MUTECH". Przymiar wstępowy STABILA, nr seryjny 10721, świadectwo wzorcowania z dn. 19.06.2017r. wydane przez Zespół Laboratoriów wzorcujących Okręgowego Urzędu Miar w Gdańsku. GPS Garmin 64s okresowo sprawdzany w punktach osnowy geodezyjnej klasy 3 na podstawie licencji punktu, zgodnie z procedurą sprawdzeń okresowych IS/PO-16-11/03.
Pomiary zostały wykonane	<ol style="list-style-type: none"> 1. na głównych i pomocniczych kierunkach pomiarowych, na kierunkach zbliżonych do azymutów anten oraz w dodatkowych pionach pomiarowych zgodnie z wymaganiami pkt 12, 13, 14 i 19 załącznika do rozporządzenia Ministra Klimatu z dnia 17 lutego 2020 r. (Dz. U. 2020, poz. 258), 2. na obszarze pomiarowym, dla którego, na podstawie uprzednio wykonanych obliczeń uzyskanych od zleceniodawcy, stwierdzono możliwość występowania pól elektromagnetycznych o poziomach zbliżonych do poziomów dopuszczalnych zgodnie z wymaganiami pkt 5 ppkt 2 oraz pkt 13 ppkt 1 załącznika do rozporządzenia Ministra Klimatu z dnia 17 lutego 2020 r. (Dz. U. 2020, poz. 258). Wyniki obliczeń nie uwzględniały parametrów pracy instalacji innych operatorów występujących na obiekcie bądź w obszarze pomiarowym. 3. w miejscach dostępnych dla ludności. 4. miejsca niedostępne podczas wykonywania pomiarów wskazane zostały w pkt 6 (tabeli wyniki pomiarów) 5. wyniki pomiarów uzyskane zostały przy uwzględnieniu poprawek pomiarowych przekazanych przez zleceniodawcę oraz przy rzeczywistych warunkach pracy instalacji innych operatorów (w przypadku występowania). W takiej sytuacji uwzględniono jednolitą poprawkę pomiarową wynoszącą 2,0.
Szczególne warunki podczas wykonywania pomiarów	Pomiary wykonane zostały podczas obowiązywania w kraju stanu epidemii, zgodnie z art. 122a ust. 1b Ustawy z dnia 27 kwietnia 2001 r. – Prawo ochrony środowiska (Dz. U. z 2019 r. poz. 1396, z późn. zm.9))
Warunki pracy urządzeń nadawczych	Podczas pomiarów zostały uwzględnione poprawki pomiarowe przekazane przez zleceniodawcę, umożliwiające uwzględnienie maksymalnych parametrów pracy instalacji zgodnie z pkt 7 załącznika do Rozporządzeniem Ministra Klimatu z dnia 17 lutego 2020 r. w sprawie sposobów sprawdzania dotrzymania dopuszczalnych

4. Zróżnicowanie dopuszczalne poziomy pól elektromagnetycznych.

Zakresy znajdują się w Dzienniku Ustaw z dnia 17 grudnia 2019 r. przedstawione są w tabeli nr 2 (Dz. U. z 2019r. poz. 2448).

Parametr fizyczny	Składowa elektryczna E (V/m)	Składowa magnetyczna H (A/m)	Gęstość mocy S (W/m ²)
Zakres Częstotliwości pola elektromagnetycznego			
od 400 MHz do 2000 MHz	$1,375 \times f^{0,5}$	$0,0037 \times f^{0,5}$	f / 200
od 2 GHz do 300 GHz	61	0,16	10

5. Charakterystyka źródeł PEM.

Zgodnie z informacją otrzymaną od Klienta pomiary zostały wykonane przy ustawieniach pochylecia anten zgodnych z pkt. 13, ppkt 2 załącznika do rozporządzenia Ministra Klimatu z dnia 17 lutego 2020 roku.

Tabela 1. Anteny sektorowe - dane otrzymane od klienta

Charakterystyka promieniowania		kierunkowa																	
Rzeczywisty czas pracy [h/dobę]		24																	
Rodzaj wytwarzanego pola		stacjonarne																	
Lp	Wyszczególnienie	sektor 1					sektor 2					sektor 3							
I Nadajnik stacji bazowej:																			
1	Typ / Producent	DBS / Huawei																	
2	Częstotliwość (pasmo) MHz	2600	800	2100	1800	900	2600	800	2100	1800	900	2600	800	2100	1800	900			
3	Maksymalna moc nadawana na sektor [dBm]	52,04	46,02	50,79	50,79	46,02	52,04	46,02	50,79	50,79	46,02	52,04	46,02	50,79	50,79	46,02			
II Obciążenie:																			
1	Typ anteny	Huawei ATR4518R6			Huawei ATR4518R6			Huawei ATR4518R6			Huawei ATR4518R6			Huawei ATR4518R6					
2	Producent anteny	Huawei			Huawei			Huawei			Huawei			Huawei					
3	Ilość anten	1			1			1			1			1					
4	Azymut	20					140					260							
5	Zakres kątów pochylecia anten [°]	0,00-6,00					0,00-6,00					0,00-6,00							
6	Wysokość zainst. n.p.t. [m]	35,20					35,20					35,20							
7	EIRP [W]	12287			15051			12287			15051			12287			15051		

Tabela 2. Anteny radioliniowe- dane otrzymane od klienta

Charakterystyka promieniowania				kierunkowa			
Rzeczywisty czas pracy [h/dobę]				24			
Rodzaj wytwarzanego pola				stacjonarne			
Linia radiowa				Antena			
Lp	typ/producent	częstotliwość pracy [GHz]	moc wyjściowa [dBm]	typ/producent	średnica anteny [m]	azymut [°]	wysokość zainstal. [m]
1	OPTIX RTN/HUAWEI	80	18	VHLP1-80/Andrew	0,3	261	38,00

6. Wyniki pomiarów.

Wyniki pomiarów pól elektromagnetycznych dla celów ochrony środowiska przedstawia poniższa tabela. Piony pomiarowe zostały przedstawione w zał. 2.

Nr PP	Pole-E [V/m]	Pole-E *kE, +U [V/m]	Pole-H [A/m]	Pole-H *kE +U [A/m]	Wys. pomiaru [m]	Opis pionu	Uwagi	WM _E	WM _H
1	1,7	5,43	0,005	0,014	1,2	N:53°06'37.4" E:20°23'46.1"	otoczenie stacji bazowej - 50m wzdłuż gł. osi promieniowania - GKP	0,140	0,138
2	1,7	5,43	0,005	0,014	1,1	N:53°06'38.9" E:20°23'47.2"	otoczenie stacji bazowej - 100m wzdłuż gł. osi promieniowania - GKP	0,140	0,138
3	1,3	4,15	0,003	0,011	0,8	N:53°06'40.7" E:20°23'48.3"	otoczenie stacji bazowej - 150m wzdłuż gł. osi promieniowania - GKP	0,107	0,105
4	1,4	4,47	0,004	0,012	0,9	N:53°06'42.0" E:20°23'49.2"	otoczenie stacji bazowej - 200m wzdłuż gł. osi promieniowania - GKP	0,115	0,113
5	<0,8*	<2,56	<0,002	<0,007	0,3-2,0	N:53°06'43.6" E:20°23'50.4"	otoczenie stacji bazowej - 250m wzdłuż gł. osi promieniowania - GKP	<0,066	<0,065
6	<0,8*	<2,56	<0,002	<0,007	0,3-2,0	N:53°06'46.5" E:20°23'51.9"	otoczenie stacji bazowej - 355m wzdłuż gł. osi promieniowania - GKP	<0,066	<0,065
7	1,2	3,84	0,003	0,010	1,0	N:53°06'34.3" E:20°23'47.5"	otoczenie stacji bazowej - 50m wzdłuż gł. osi promieniowania - GKP	0,099	0,097
8	1,0	3,20	0,003	0,008	0,8	N:53°06'32.9" E:20°23'50.1"	otoczenie stacji bazowej - 100m wzdłuż gł. osi promieniowania - GKP	0,082	0,081
9	0,8	2,56	0,002	0,007	0,9	N:53°06'31.7" E:20°23'52.0"	otoczenie stacji bazowej - 150m wzdłuż gł. osi promieniowania - GKP	0,066	0,065
10	1,2	3,84	0,003	0,010	0,9	N:53°06'31.0" E:20°23'52.4"	otoczenie stacji bazowej - 200m wzdłuż gł. osi promieniowania - GKP	0,099	0,097
11	1,5	4,79	0,004	0,013	1,4	N:53°06'29.0" E:20°23'54.2"	otoczenie stacji bazowej - 250m wzdłuż gł. osi promieniowania - GKP	0,123	0,122
12	1,4	4,47	0,004	0,012	1,3	N:53°06'28.4" E:20°23'55.9"	otoczenie stacji bazowej - 300m wzdłuż gł. osi promieniowania - GKP	0,115	0,113
13	1,5	4,79	0,004	0,013	1,1	N:53°06'27.1" E:20°23'57.4"	otoczenie stacji bazowej - 355m wzdłuż gł. osi promieniowania - GKP	0,123	0,122
14	1,8	5,75	0,005	0,015	1,1	N:53°06'35.6" E:20°23'42.3"	otoczenie stacji bazowej - 50m wzdłuż gł. osi promieniowania - GKP	0,148	0,146
15	1,2	3,84	0,003	0,010	1,1	N:53°06'35.4" E:20°23'39.9"	otoczenie stacji bazowej - 100m wzdłuż gł. osi promieniowania - GKP	0,099	0,097
16	1,4	4,47	0,004	0,012	0,8	N:53°06'35.6" E:20°23'34.2"	otoczenie stacji bazowej - 200m wzdłuż gł. osi promieniowania - GKP	0,115	0,113
17	1,5	4,79	0,004	0,013	0,9	N:53°06'34.8" E:20°23'32.3"	otoczenie stacji bazowej - 250m wzdłuż gł. osi promieniowania - GKP	0,123	0,122
18	1,8	5,75	0,005	0,015	1,2	N:53°06'34.5" E:20°23'29.6"	otoczenie stacji bazowej - 300m wzdłuż gł. osi promieniowania - GKP	0,148	0,146
19	2,0	6,39	0,005	0,017	1,1	N:53°06'34.2" E:20°23'26.7"	otoczenie stacji bazowej - 355m wzdłuż gł. osi promieniowania - GKP	0,164	0,162
20	1,5	4,79	0,004	0,013	0,8	N:53°06'37.8" E:20°23'48.5"	otoczenie stacji bazowej - GKP	0,123	0,122
21	1,2	3,84	0,003	0,010	0,9	N:53°06'36.2" E:20°23'46.9"	otoczenie stacji bazowej - GKP	0,099	0,097
22	1,0	3,20	0,003	0,008	1,1	N:53°06'35.0" E:20°23'50.3"	otoczenie stacji bazowej - GKP	0,082	0,081
23	1,0	3,20	0,003	0,008	1,0	N:53°06'32.6" E:20°23'47.6"	otoczenie stacji bazowej - GKP	0,082	0,081
24	1,1	3,52	0,003	0,009	1,0	N:53°06'34.3" E:20°23'44.6"	otoczenie stacji bazowej - GKP	0,090	0,089
25	1,2	3,84	0,003	0,010	0,8	N:53°06'34.3" E:20°23'39.6"	otoczenie stacji bazowej - GKP	0,099	0,097
26	1,3	4,15	0,003	0,011	0,9	N:53°06'36.8" E:20°23'40.0"	otoczenie stacji bazowej - GKP	0,107	0,105
27	1,5	4,79	0,004	0,013	0,9	N:53°06'36.9" E:20°23'43.6"	otoczenie stacji bazowej - GKP	0,123	0,122
28	1,5	4,79	0,004	0,013	1,4	N:53°06'38.4" E:20°23'45.5"	otoczenie stacji bazowej - GKP	0,123	0,122

A	1,2	3,84	0,003	0,010	1,3	N:53°06'38.2" E:20°23'44.4"	Księżda Maksymiliana Marii Kolbe 10, pomiar przed budynkiem -DPP	0,099	0,097
B	1,5	4,79	0,004	0,013	1,1	N:53°06'38.9" E:20°23'46.3"	Księżda Maksymiliana Marii Kolbe 15, pomiar przed bramą -DPP	0,123	0,122
C	1,2	3,84	0,003	0,010	1,1	N:53°06'36.4" E:20°23'48.1"	Księżda Maksymiliana Marii Kolbe 14, pomiar przed bramą -DPP	0,099	0,097
D	<0,8*	<2,56	<0,002	<0,007	0,3-2,0	N:53°06'43.6" E:20°23'48.8"	Nowowiejska 20, pomiar przed budynkiem -DPP	<0,066	<0,065
E	<0,8*	<2,56	<0,002	<0,007	0,3-2,0	N:53°06'44.1" E:20°23'50.3"	Nowowiejska 22, piętro 1, balkon -DPP	<0,066	<0,065
F	<0,8*	<2,56	<0,002	<0,007	0,3-2,0	N:53°06'46.4" E:20°23'52.2"	Nowowiejska 25, pomiar przed budynkiem -DPP	<0,066	<0,065
G	1,3	4,15	0,003	0,011	1,2	N:53°06'36.7" E:20°23'39.1"	Grabowskiego „Puszczyka” 7, pomiar przed budynkiem -DPP	0,107	0,105
H	0,8	2,56	0,002	0,007	1,1	N:53°06'35.5" E:20°23'36.1"	Okólna 21, pomiar przed budynkiem -DPP	0,066	0,065
I	1,1	3,52	0,003	0,009	0,8	N:53°06'35.0" E:20°23'36.9"	Okólna 23, pomiar przed budynkiem -DPP	0,090	0,089
J	1,4	4,47	0,004	0,012	0,9	N:53°06'42.7" E:20°23'49.7"	Nowowiejska 18, pomiar przed bramą -DPP	0,115	0,113
K	<0,8*	<2,56	<0,002	<0,007	0,3-2,0	N:53°06'44.6" E:20°23'51.3"	Nowowiejska 24, pomiar przed bramą -DPP	<0,066	<0,065
L	2,0	6,39	0,005	0,017	1,0	N:53°06'38.7" E:20°23'48.4"	Księżda Maksymiliana Marii Kolbe 19, pomiar przed budynkiem -DPP	0,164	0,162

Wynik pomiaru pole - E [V/m] - maksymalna wartość chwilowa zmierzona w danych pionie pomiarowym

* poniżej czułości zestawu pomiarowego

GKP - główne kierunki pomiarowe

PKP - pomocnicze kierunki pomiarowe

DPP- dodatkowe punkty pomiarowe

PP – pion pomiarowy

U - niepewność pomiarowa rozszerzona, przy poziomie ufności 95%, z uwzględnieniem współczynnika rozszerzenia k=2

kE– poprawka pomiarowa badanej instalacji radiokomunikacyjnej podana przez operatora (kE=1,4), poprawka pomiarowa w

przypadku oddziaływania innych instalacji radiokomunikacyjnych na badany obszar (kE=2,0)

WM_E - wartość wskaźnikowa poziomu emisji pól elektromagnetycznych dla miejsc dostępnych dla ludności dla składowej elektrycznej pola

WM_H - wartość wskaźnikowa poziomu emisji pól elektromagnetycznych dla miejsc dostępnych dla ludności dla składowej magnetycznej pola

Przyjęto najniższą dopuszczalną wartość składowej elektrycznej pola dla objętego pomiarami zakresu częstotliwości min(MEgr)= 38,8 V/m oraz składowej magnetycznej min(MHgr)= 0,105 A/m.

7. Stwierdzenie zgodności

Na podstawie wytycznych podanych w Rozporządzeniu Ministra Zdrowia z dnia 17 grudnia 2019 r. w sprawie dopuszczalnych poziomów pól elektromagnetycznych w środowisku (Dz.U. 2019 poz. 2448) oraz sposobów sprawdzania dotrzymania tych poziomów zgodnie z Rozporządzeniem Ministra Klimatu z dnia 17 lutego 2020 r. w sprawie sposobów sprawdzania dotrzymania dopuszczalnych poziomów pól elektromagnetycznych w środowisku (Dz.U. 2020 poz. 258) dotyczących źródła wymagań, które muszą być spełnione (załącznik do rozporządzenia Ministra Klimatu z dnia 17 lutego 2020 r. (poz. 258)), w oparciu o zasadę podejmowania decyzji zgodną z pkt 26 załącznika do rozporządzenia Ministra Klimatu z dnia 17 lutego 2020 r. (poz. 258), na podstawie wyników pomiarów pól elektromagnetycznych wykonanych w dniu 21.05.2021 stwierdzono, iż w miejscach dostępnych dla ludności, dopuszczalne poziomy pól elektromagnetycznych w środowisku, określone w przepisach wydanych na podstawie art. 122 ust. 1 ustawy z dnia 27 kwietnia 2001 r. – Prawo ochrony środowiska, uznaje się za dotrzymane w obszarze pomiarowym, w którym w wyniku zastosowania sposobu sprawdzenia dotrzymania dopuszczalnych poziomów pól elektromagnetycznych w środowisku, udokumentowano, że żadna z wartości wskaźnikowych nie przekracza wartości 1.

8. Oświadczenie.

Wyniki badania odnoszą się wyłącznie do badanego obiektu.

Bez pisemnej zgody sprawozdanie nie może być powielane inaczej, jak tylko w całości.

Uwagi i zastrzeżenia przyjmowane są w formie pisemnej w ciągu 14 dni od daty otrzymania sprawozdania.

9. Spis załączników.

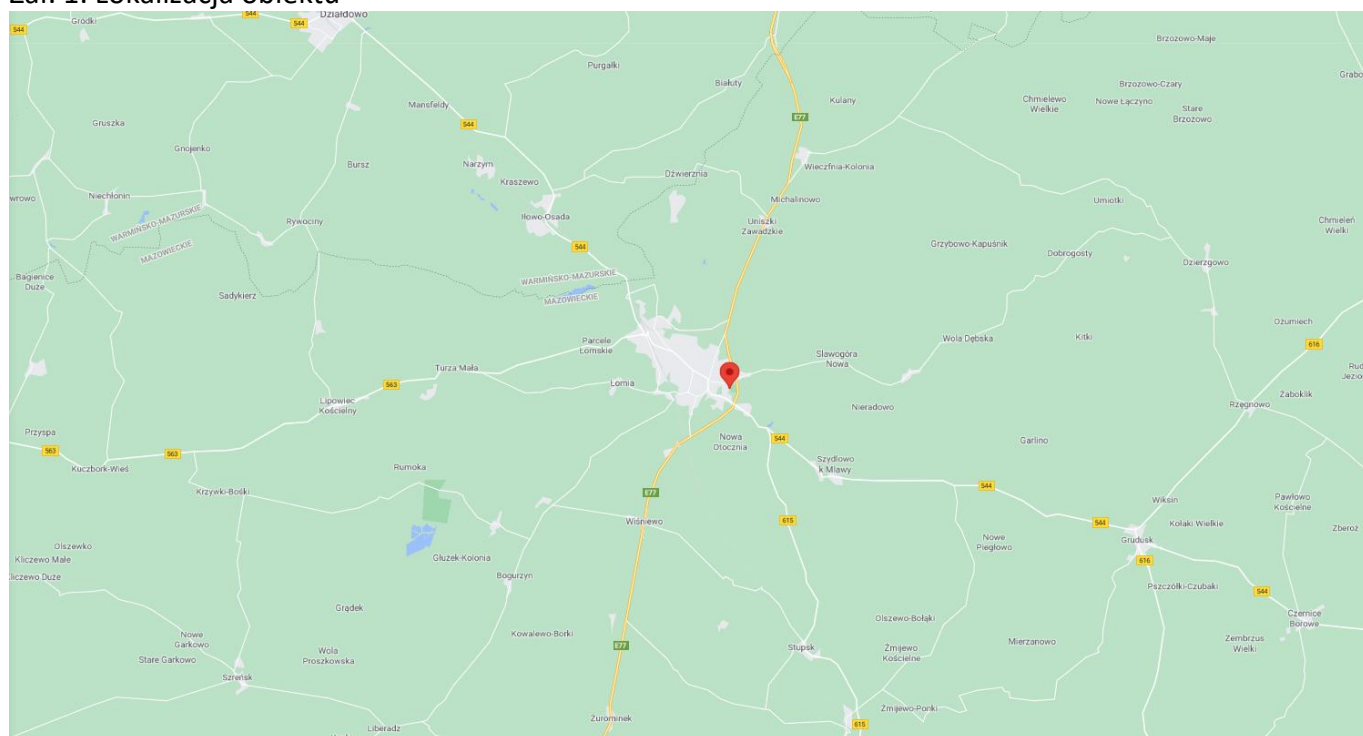
Zał. 1. Lokalizacja obiektu.

Zał. 2. Widok pionów pomiarowych

Zał. 3. Załączniki graficzne

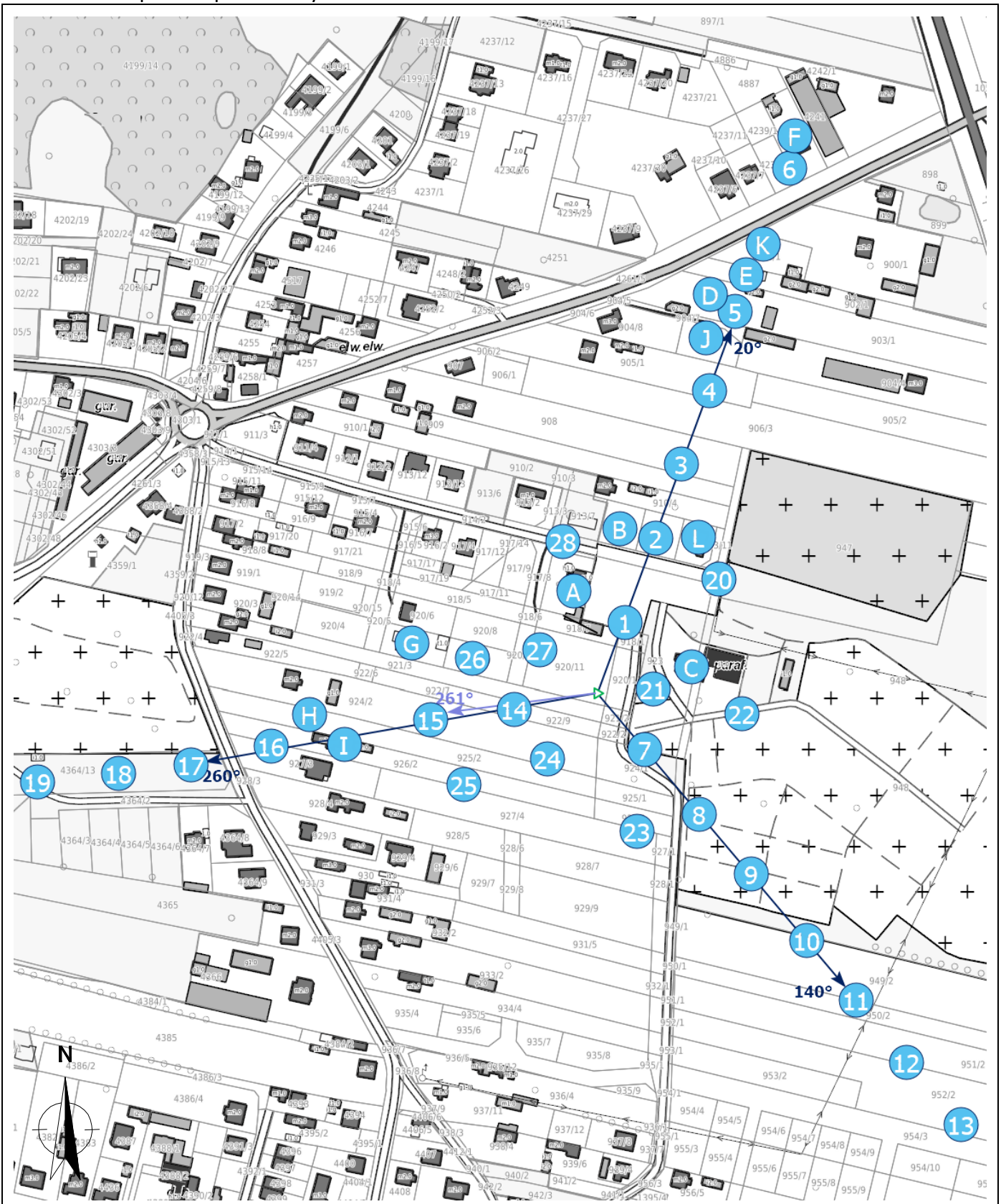
Koniec sprawozdania

Zał. 1. Lokalizacja obiektu

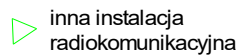


Współrzędne geograficzne	
długość:	20°23'45.15"E
szerokość:	53°06'36.27"N

Załącznik 2. Widok pionów pomiarowych



LEGENDA:



inna instalacja radiokomunikacyjna



brak dostępu

nr pion pomiarowy z poprawką pomiarową (brak innych instalacji radiokomunikacyjnych)

nr pion pomiarowy z poprawką pomiarową (w zasięgu innych instalacji radiokomunikacyjnych)



Odległość, do której zostały wykonane pomiary mierząc od instalacji antenowej wynosi min.: 352 metrów.

Skala: 1:4300



„Bez pisemnej zgody Laboratorium niniejsze sprawozdanie nie może być powielane inaczej, jak tylko w całości. Ponadto wyniki dotyczą tylko badanych obiektów przywołanych w niniejszym sprawozdaniu z badań”

Załącznik 3. Załączniki graficzne.

